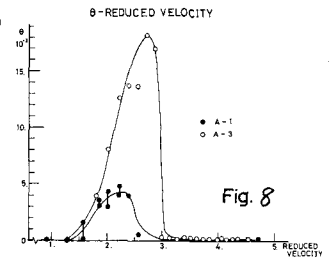
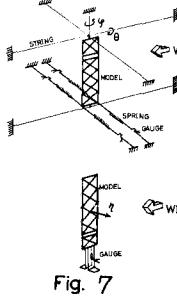


振動系	流れ	実験番号	発生した振動	質量減衰パラメータ
θ-1自由度振動系 (主流に直角方向の 面内回転振動)	一樣流	A-1	ある風速領域 ($U/bw \approx 2.8$) においてのみ定常振動 (塔頂 倍振幅 3mm) が存在	49.0
		A-2	定常振動が存在せず	43.3
φ-1自由度振動系 (ねじれ振動)	一樣流	B-1	ある風速領域 ($U/bw = 2.7$) においてのみ定常振動 (先端 倍振幅約 0.5mm 弱) が存在	158.2
η-1自由度振動系 (主流に直角方向の たわみ振動)	一樣流	C-1	定常振動は存在せず	448.5
	せん断流れ	C-2	定常振動は存在せず	410.8
θ-φ 2自由度振動系	一樣流	A-3	連成振動は存在せず、各々の1自由度の不安定振動 (θ; 塔 頂倍振幅 10mm, φ; 先端倍振幅 0.5mm 強) が存在	18.9
		B-2		130.2

を試みた。吊橋タワー部のような構造物について考えられる不安定振動としては Aeolian 振動と Galloping 振動の2つが挙げられる。これらの不安定振動に関して上表に示すような振動実験を行なった結果、2自由度の連成振動は発生せず、たわみ、ねじれの各1自由度振動系においてある特定の風速領域においてのみ不安定振動が存在することからこの振動は Aeolian 振動と考えられる。また吊橋タワー部の静的実験からも予測されたように、Galloping 振動は発生しないことが振動実験からも確認された。なお各振動実験における振動系の支持概略図は、(図-7) に示すとおりである。応答振幅は上表からも分かるようにタワーの質量減衰パラメータ ($2m\delta/\rho D^2$) の影響を受け、また(図-8) から分かるように応答は、換算風速 2.6 付近においてのみ大振幅を示しこの風速領域において模型は lock-in 状態にあるものと思われる。これより Strouhal 数 ($S = fD/U$) を逆算すると約 0.12 となり、正方形断面のそれに近い値となる。ただしこの場合 D としては主塔(頂部)の橋軸方向の長さを用いた。また、風速増加に伴う応答のパワースペクトル密度の変化の一例を(図-9) に示す。



3 自然風中における正方形断面弾性体構造物の応答推定

解析にあたっては次の仮定をもうけた。

- (1) 自然風中の構造物の応答として平均流による応答と乱れによる応答の和として考える。
 - (2) 3次元流の影響は無視する。
- 3-1 せん断流れにおけるカルマン渦に起因する交差揚力による応答

(図-10) に示すような下端固定、上端自由支持の正方形断面弾性体構造物に乱れを含まないせん断流れが作用する場合の構造物に作用する r 次モードのカルマン渦に起因する交差揚力は、根本により次式で与えられている。

$$L_r(z, t) = - \frac{2\pi\rho U^2(z)}{m_0} \left[\frac{f(\eta)}{\omega_k(z)} - \frac{g(\eta)}{\omega_r} \{1 - C(k)\} \right] \times e^{i\omega_k(z)t} \quad (3-1)$$

ここで、 m_0 : 単位長さあたりの質量、 ρ : 空気密度、

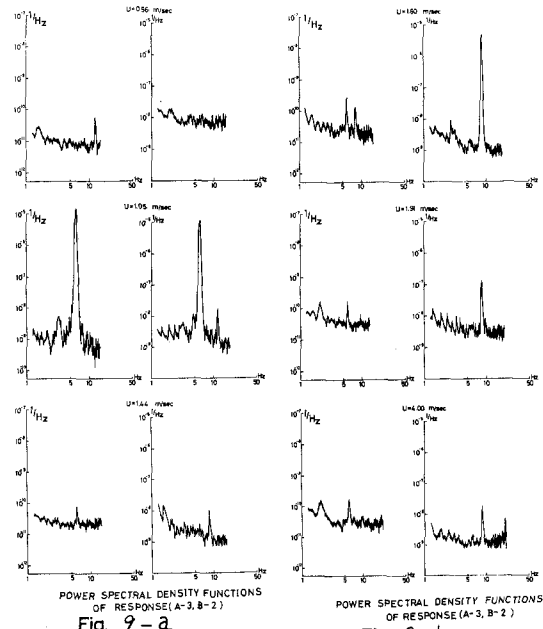


Fig. 9-2

Fig. 9-b

$f(\eta)$: 静的渦列関数, $g(\eta)$: 動的渦列関数, $C(k)$: Theodorsen 関数, β : 循環強さを表わすパラメータ, ω_k : カルマン渦の発生円振動数, ω_r : 構造物の r 次モードの円振動数, $\bar{U}(z)$: 高さ z における平均風速 ($\bar{U}(z) = (z/z_0)^\alpha U_0$)
次に r 次モードの揚力を基準モード法を適用することにより次のように表わすことができる⁽³⁾

$$L_r(t) = \int_0^H Re[L_r(z,t)] \varphi_r(z) dz / \int_0^H \{\varphi_r(z)\}^2 dz \quad (3-2)$$

ここで, $Re[L_r(z,t)]$ は式(3-1)における $L_r(z,t)$ の実数部を表わす。一方, 高さ z , 時刻 t における応答 $\eta_r(z,t)$, および r 次モードの振動方程式は次のように表わされる。

$$\eta_r(z,t) = \sum_r \eta_r(t) \varphi_r(z) \quad (3-3)$$

$$\ddot{\eta}_r(t) + 2\zeta_r \omega_r \dot{\eta}_r(t) + \omega_r^2 \eta_r(t) = L_r(t) / \int_0^H \{\varphi_r(z)\}^2 dz \quad (3-4)$$

式(3-4)の振動方程式を解くことにより r 次モードの応答振幅が算出され, さらに式(3-3)に代入することにより, 高さ z , 時刻 t における正方形断面弾性体構造物の応答振幅を求めることができる。

3-2 自然風中における風速の変動成分に起因する応答

本研究においては Aedman 振動, Galloping 振動のような不安定振動は起こらないものと仮定して, 風速の乱れの成分のみに起因する応答に関して考察を加えた。自然風のある高さ z における主流に直角水平方向の変動成分のパワー・スペクトル密度は乱れの2次元等方性を仮定すると Parnofsky, McCormick 等により示されているように次式で表わすことができる⁽⁴⁾

$$S_{vz}(f) = 3\mu_r z \bar{U}^3(z) / (\bar{U}(z) + 4fz)^2 \quad (3-5)$$

ただし, μ_r : 表面摩擦係数, $\bar{U}(z)$: 高さ z における平均風速

一方, 風速の変動成分に起因する揚力のパワー・スペクトル密度は, 擬定常空気力理論を用いて, 次のように乱れの空間分布特性および空気力への換算関数の積として与えられる。

$$S_{Lz}(f) = \left[\frac{1}{2} \rho \bar{U}(z) \left\{ \frac{dC_l}{d\alpha} + C_{D0} \right\}_{static} \right]^2 \{ \bar{C}(k) \}^2 S_{vz}(f) \int_0^H \int_0^H R(z, z'; f) dz dz' \quad (3-6)$$

したがって r 次モードの揚力のパワー・スペクトル密度は次のように表わされる。

$$S_{Lr}(f) = \int_0^H \int_0^H \overline{S_{Lz}(f) S_{Lz'}(f)} R(z, z'; f) \varphi_r(z) \varphi_r(z') dz dz' / \left[\int_0^H \{\varphi_r(z)\}^2 dz \right] \quad (3-7)$$

ここで, $R(z, z'; f)$ は高さ方向についての主流に直角水平方向の変動風速のコヒーレンスであるが, これは塩谷等により実験的に次のように求められている⁽⁵⁾

$$R(z, z'; f) = \exp(-k^* f |z - z'| / \bar{U}_0) \quad k^* = k_0^* - 0.4z \quad (3-8)$$

また, 応答振幅のパワー・スペクトル密度は式(3-3), 式(3-4)より分かるように揚力のパワー・スペクトル密度と周波数応答関数 $|H_r(f)|^2$ の積として次のように表わされる。

$$S_{\eta z}(f) = \sum_r S_{\eta r}(f) \{\varphi_r(z)\}^2 \quad (3-9)$$

$$S_{\eta r}(f) = |H_r(f)|^2 S_{Lr}(f) / \left[\int_0^H \{\varphi_r(z)\}^2 dz \right]^2 \quad (3-10)$$

この結果応答振幅の分散値は最終的に次式で示される。

$$V(z) = \int_0^\infty S_{\eta z}(f) df \quad (3-11)$$

なお, 上記の数値計算結果に関しては当日発表の予定である。最後に本研究の共同研究者は以下のようである。

京都大学工学部土木工学科 松本勝, 北川貴一, 竹居重男, 小前繁

(参考文献) (1) Scruton, C., "On the Wind-Excited Oscillation of Stacks, Towers and Masts," June, 1963. (2) 松本勝 "箱型断面を有する土木構造物の耐風性に関する基礎的研究" 1972年10月 (3) Davenport, A.G., "A Statistical Approach to the Treatment of Wind Loading on Tall Masts and Suspension Bridges," March 1961. (4) 土木学会 "本州四国連絡橋技術調査委員会 本州四国連絡橋技術調査第1次報告書付属資料 耐風設計指針および解説" 昭和40年5月. (5) M. Shiotani, Y. Iwatani "Correlations of Wind Velocities in Relation to the Gust Loading," Sept. 1971.

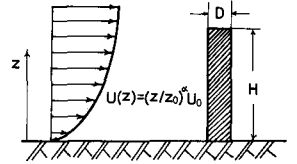


Fig. 10